

*Microfotografía n.º 1*

Corte sagital de velo de cultivo bacilo tuberculoso humano en patata glicerizada. Coloración: hematoxilina férrica  $\times 68$ .

Obsérvese la estructura de las colonias sobre los elementos celulares de la patata, y en el interior de aquéllas, los finos velos cianófilos, Gram-negativos.

*Microfotografía n.º 2*

Corte frontal de velo de cultivo bacilo tuberculoso humano en patata glicerizada. Coloración: hematoxilina férrica  $\times 68$ .

Obsérvese la disposición de las colonias y los finos velos cianófilos, Gram-negativos.

*Microfotografía n.º 3*

Corte sagital de velo de cultivo bacilo tuberculoso humano en patata glicerizada. Coloración: hematoxilina férrica  $\times 765$ .

En la parte superior, micelio bacilar; en la inferior, restos celulares de la patata conteniendo formas evolutivas del supuesto mixomiceto; zoosporas, formas de conjugación y zigotes.

*Microfotografía n.º 4*

Corte sagital de velo de cultivo bacilo tuberculoso humano en patata glicerizada. Coloración: hematoxilina férrica  $\times 765$ .

En la parte superior, micelio bacilar; debajo, una célula superficial de la patata conteniendo formas evolutivas del supuesto mixomiceto; formas de conjugación y zigotes.

*Microfotografía n.º 5*

Corte sagital de velo de cultivo bacilo tuberculoso humano en medio de patata glicerizada. Coloración: hematoxilina férrica  $\times 765$ .

Interior de una colonia: en la parte central, junto a la masa bacilar, dos quistes. Obsérvese en el fondo, las formas jóvenes del velo cianófilo, Gram-negativo.

*Microfotografía n.º 6*

Corte sagital de velo de cultivo bacilo tuberculoso humano en medio de patata glicerizada. Coloración: hematoxilina férrica  $\times 765$ .

Parte central de una colonia en que pueden apreciarse formas plasmiales en fase de dispersión granular. Obsérvese a su alrededor, la nebulosa cromidial de la que surgen los velos cianófilos conteniendo delicados bacilos Gram-negativos.

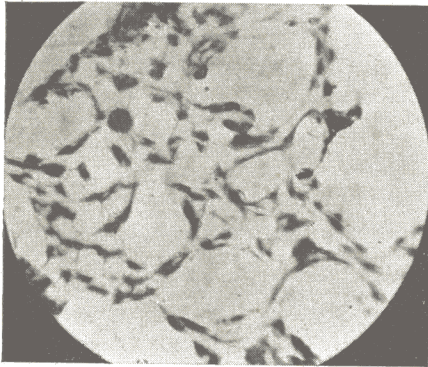
7



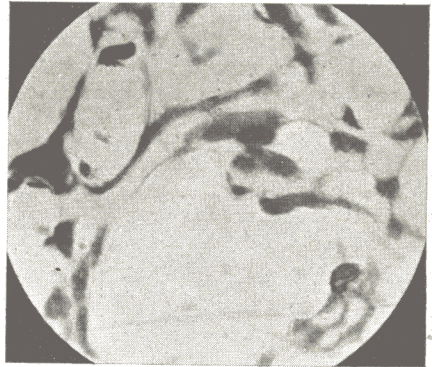
8



9



10



11



12



*Microfotografía n.º 7*

Corte de un velo de cultivo bacilo tuberculoso bovino en caldo glicerinado. Coloración: Benda modificado  $\times 340$ .

Estructura de una colonia.

*Microfotografía n.º 8*

Corte de un velo de cultivo bacilo tuberculoso bovino en caldo glicerinado. Coloración: Benda modificado  $\times 68$ .

Obsérvese a pequeño aumento un delicado velo en conexión con las colonias, constituido por un plasmodio ramificado.

*Microfotografía n.º 9*

Corte de un velo de cultivo de bacilo tuberculoso bovino en caldo glicerinado. Coloración: Benda modificado  $\times 340$ .

Obsérvese a mayor aumento el plasmodio ramificado de la microfotografía n.º 8.

*Microfotografía n.º 10*

Corte de velo de cultivo bacilo tuberculoso bovino en caldo glicerinado. Coloración: Benda modificado  $\times 765$ .

Obsérvese en inmersión la estructura del velo (plasmodio) de la microfotografía n.º 8; en la parte superior izquierda e inferior derecha pueden verse dos esporangios en fase inicial de fructificación.

*Microfotografía n.º 11*

Corte de velo de cultivo bacilo tuberculoso bovino en caldo glicerinado. Coloración: Benda modificado  $\times 750$ .

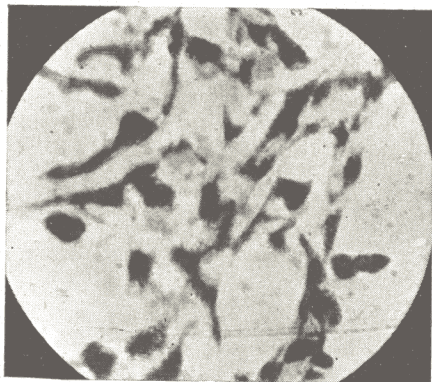
Detalle del velo (plasmodio) de la microfotografía n.º 8, mostrando la transformación de los esporangios maduros en formas granulares. Obsérvese la extraordinaria vacuolización y dispersión cromática.

*Microfotografía n.º 12*

Corte de velo de cultivo bacilo tuberculoso bovino en caldo glicerinado. Coloración: Benda modificado  $\times 750$ .

Detalle del velo de la microfotografía n.º 8 mostrando la transformación de los esporangios durante la fructificación. En la parte inferior, un esporangio antes de la maduración.

13



*Microfotografía n.º 13*

Corte de velo de cultivo bacilo tuberculoso bovino en caldo glicerinado. Coloración: Benda modificado  $\times 750$ .

Otro detalle del velo de la microfotografía n.º 8, mostrando fases más avanzadas de la fructificación de los esporangios.

Véase cómo de las masas vacuolizadas y dispersas se esbozan finos filamentos que empiezan en algunos sitios a desaglutinarse.

14



*Microfotografía n.º 14*

Corte de velo de cultivo bacilo tuberculoso bovino en caldo glicerinado. Coloración: Benda modificado  $\times 750$ .

Corte procedente de una colonia joven. Obsérvese la disposición de dicho velo, muy semejante al de la microfotografía n.º 13.

Las nubosidades Gram-negativas formadas por gránulos y bacilos, representan una fase posterior a la desorganización del plasmodio en un aparato esporífero.

15



*Microfotografía n.º 15*

Corte de velo de cultivo bacilo tuberculoso bovino en caldo glicerinado. Coloración: Benda modificado  $\times 750$ .

Obsérvese la indicación de la flecha donde pueden apreciarse zoosporas que transformándose en mixabimas se agrupan para formar plasmodios.